



VIỆN HÀN LÂM KHOA HỌC VÀ CÔNG NGHỆ VIỆT NAM
VIỆN ĐỊA LÝ TÀI NGUYÊN TP. HỒ CHÍ MINH



Ký yếu 2018

HỘI THẢO ỨNG DỤNG TOÀN QUỐC GIS

Hướng tới đô thị thông minh



GIS 2018 CONFERENCE PROCEEDINGS



NHÀ XUẤT BẢN NÔNG NGHIỆP

VIỆN ĐỊA LÝ TÀI NGUYÊN TP. HỒ CHÍ MINH
VIỆN HÀN LÂM KHOA HỌC VÀ CÔNG NGHỆ VIỆT NAM



Ký yếu hội thảo
ỨNG DỤNG GIS TOÀN QUỐC 2018

NHÀ XUẤT BẢN NÔNG NGHIỆP

BAN TỔ CHỨC

Trưởng ban:	PGS.TS. Phạm Việt Hòa	* Viện trưởng Viện Địa lý Tài nguyên TP. Hồ Chí Minh. Viện Hỗn hợp Khoa học và Công nghệ Việt Nam Giám đốc Trung tâm Viễn thám và GIS Viện Địa lý Tài nguyên TP. Hồ Chí Minh
Phó ban:	1. TS. Hà Dinh Duân 2. PGS.TS. Nguyễn Kim Lợi 3. GS.TS. Võ Quang Minh	Giam đốc Trung tâm Nghiên cứu Biển và Khoáng sản Trường Đại học Nông lâm TP. Hồ Chí Minh Trưởng bộ môn Tài nguyên Địa dư, Khoa Môi trường và Tài nguyên Thiên nhiên, Trường Đại học Cần Thơ Phó Giám đốc Trung tâm Nghiên cứu Ứng dụng và Triển khai Khoa học Công nghệ, Viện Địa lý Tài nguyên TP. Hồ Chí Minh Phó Phản viên trưởng Phản viên Quy hoạch và Thiết kế Nông nghiệp miền Nam Trưởng phòng Địa lý vùng litoria Viện Địa lý Tài nguyên TP. Hồ Chí Minh
Thành viên:	1. ThS. Nguyễn An Bình 2. TS. Lê Cảnh Định 3. TS. Trịnh Phú Hoành 4. PGS.TS. Nguyễn Văn Lập 5. GS.TS. Võ Chí Mỹ 6. GS.TS. Nguyễn Kỳ Phong 7. TS. Bùi Quang Thành 8. ThS. Lê Phước Thành 9. CN. Lê Thị Ngọc Tิếu 10. PGS.TS. Nguyễn Quang Tuấn 11. PGS.TS. Lê Văn Trung	Phó Viện trưởng Viện Địa lý Tài nguyên TP. Hồ Chí Minh. Viện Hỗn hợp Khoa học và Công nghệ Việt Nam Phó Chủ tịch kiêm Tổng Thư ký Hội Trắc địa - Ban đô Viễn thám Việt Nam Phó Giám đốc Sở Khoa học và Công nghệ TP. Hồ Chí Minh Phó Trưởng khoa Địa lý, Trường Đại học Khoa học Tự nhiên, Đại học Quốc gia Hà Nội Giam đốc Công ty TNHH Việt Nam - Đan Mạch VidaGIS Trưởng phòng Quá trình tổng hợp, Viện Địa lý Tài nguyên TP. Hồ Chí Minh Trưởng bộ môn Trắc địa - Ban đồ và HS, Khoa Địa lý - Địa chất, Trường Đại học Khoa học - Đại học Huế Giám đốc Trung tâm Địa Tín học, Đại học Quốc gia TP. Hồ Chí Minh

BAN CHUYÊN MÔN

Trưởng ban:	TS. Hồ Dinh Duân	Viện Địa lý Tài nguyên TP. Hồ Chí Minh. Viện Hỗn hợp Khoa học và Công nghệ Việt Nam
Phó ban:	1. PGS.TS Nguyễn Kim Lợi 2. GS.TS. Võ Quang Minh	Trường Đại học Nông lâm TP. Hồ Chí Minh Trường Đại học Cần Thơ
Thành viên:	1. TS. Lê Cảnh Định 2. PGS.TS. Phạm Việt Hòa 3. TS. Trịnh Phú Hoành 4. PGS.TS. Nguyễn Quang Tuấn 5. TS. Võ Quốc Tuấn	Phản viên Quy hoạch và Thiết kế Nông nghiệp miền Nam Viện Địa lý Tài nguyên TP. Hồ Chí Minh, Viện Hỗn hợp Khoa học và Công nghệ Việt Nam Viện Địa lý Tài nguyên TP. Hồ Chí Minh, Viện Hỗn hợp Khoa học và Công nghệ Việt Nam Trường Đại học Khoa học - Đại học Huế Trường Đại học Cần Thơ

BAN THƯ KÝ

Trưởng ban:	TS. Trịnh Phú Hoành	Viện Địa lý Tài nguyên TP. Hồ Chí Minh. Viện Hỗn hợp Khoa học và Công nghệ Việt Nam
Phó ban:	ThS. Nguyễn An Bình	Viện Địa lý Tài nguyên TP. Hồ Chí Minh.
Thành viên:	1. KS. Nguyễn Ngọc Ánh 2. KS. Nguyễn Cao Hạnh 3. CN. Huỳnh Song Nhứt 4. CN. Trần Anh Phương 5. TS. Nguyễn Thảo	Viện Hỗn hợp Khoa học và Công nghệ Việt Nam Viện Địa lý Tài nguyên TP. Hồ Chí Minh. Viện Hỗn hợp Khoa học và Công nghệ Việt Nam Viện Địa lý Tài nguyên TP. Hồ Chí Minh. Viện Hỗn hợp Khoa học và Công nghệ Việt Nam Viện Địa lý Tài nguyên TP. Hồ Chí Minh. Viện Hỗn hợp Khoa học và Công nghệ Việt Nam Viện Địa lý Tài nguyên TP. Hồ Chí Minh. Viện Hỗn hợp Khoa học và Công nghệ Việt Nam Viện Địa lý Tài nguyên TP. Hồ Chí Minh.

Mục lục

1. Đánh giá tác động của biến đổi khí hậu lên dòng chảy lưu vực sông Đồng Nai <i>Lê Thị Kim Quy, Phạm Thị Thảo Nhí, Trương Thảo Sâm, Đào Nguyễn Kinh</i>	1
2. Ứng dụng GIS đánh giá thay đổi sử dụng đất tỉnh Trà Vinh giai đoạn 2005 – 2015 <i>Cao Thị Mỹ Thương, Nguyễn Kim Lợi, Lê Thành Ngọc, Vũ Thúy Linh</i>	9
3. Ứng dụng mô hình SWAT mô phỏng dòng chảy tại lưu vực sông Cái Phan Rang tỉnh Ninh Thuận <i>Võ Ngọc Quỳnh Trâm, Trương Thị Hồng Thúy, Trần Trung Tin, Nguyễn Duy Liêm, Nguyễn Kim Lợi</i>	21
4. Nghiên cứu đánh giá tài nguyên rừng ngập mặn bằng công nghệ tích hợp viễn thám và bộ thông tin địa lý <i>Trần Thanh Nhát, Focin Thị Tú Uyên, Ngô Định Nhàn</i>	30
5. Ứng dụng GIS đánh giá thích nghi đất đai tự nhiên trên địa bàn huyện Chư Sê, tỉnh Gia Lai <i>Nguyễn Nam Hứa, Đặng Nguyễn Đông Phương, Trần Thanh Nhát, Nguyễn Kim Lợi</i>	39
6. Ứng dụng viễn thám phân tích cùm nguy cơ xâm lấn tại tỉnh Trà Vinh trong mùa khô <i>Cao Thị Mỹ Thương, Võ Ngọc Quỳnh Trâm, Nguyễn Thị Quế Anh, Trần Hà Phương, Đặng Nguyễn Đông Phương, Nguyễn Kim Lợi</i>	49
7. Ứng dụng QRCode, Cloud computing trong quản lý đất đai, quy hoạch đô thị tỉnh Bình Định <i>Vũ Hoàng Thương</i>	63
8. Nghiên cứu kết hợp từ liệu ảnh viễn thám quang học và ảnh Sentinel-1A dự thời gian trong phân loại lớp phủ khu vực Hà Nội <i>Lê Minh Hằng, Vũ Văn Trường, Lê Vũ Hồng Hải</i>	70
9. Xử lý số liệu hỗn hợp GPS/Glonass/Beidou <i>Đại Thị Hồng Thắm</i>	77
10. Ứng dụng GIS và viễn thám đánh giá sự thay đổi lớp phủ rừng tại vườn quốc gia Cát Tiên năm 1983 – 2017 <i>Tăng Phước Timuri, Nguyễn Thanh Ngân</i>	85
11. Ứng dụng GIS và AHP lựa chọn địa điểm hợp lý cho việc bố trí bãi cỏ sau lấp chất thải rắn tại thành phố Đà Nẵng <i>Lê Ngọc Hạnh</i>	93
12. Nghiên cứu ảnh hưởng của hạn hán đói sử dụng đất nông nghiệp tại huyện Nông Sơn, tỉnh Quảng Nam <i>Chèu Võ Trung Thông, Trần Thị Diễm My, Nguyễn Hữu Ngữ, Dương Quốc Nôn, Nguyễn Thị Nhật Linh</i>	101
13. Ứng dụng công nghệ GIS nâng cao hiệu quả quản lý cây xanh ở thành phố Vinh <i>Trần Bình Du, Hoàng Ngọc Bảo</i>	110
14. Ứng dụng GIS trong đánh giá đất đai phục vụ phát triển cây lúa và rau màu tỉnh An Giang <i>Phan Chí Nguyễn, Phạm Thành Vũ, Lê Quang Tri, Vũ Quang Minh</i>	117

75. Đánh giá sự tác động của các yếu tố biến đổi khí hậu đến kế hoạch sử dụng đất của thành phố Cần Thơ	31
Huỳnh Phú Hiệp, Lê Quang Trí, Lê Văn Khoa, Nguyễn Thị Ngọc Lan	
76. Xác định truy vết đất khu vực Lào Cai bằng chuỗi ảnh vệ tinh Radar sentinel - 1A	32
Trần Văn Anh, Nguyễn An Bình, Lê Thành Nghĩ	
77. Xây dựng bản đồ ngập lụt thành phố Đà Nẵng từ dữ liệu ảnh vệ tinh radar	33
Trần Thị Án, Venkatesh Raghavan, Nguyễn Thị Diệu, Lê Ngọc Hạnh, Trương Phước Minh	
78. Ứng dụng GIS và phương pháp phân tích đa chỉ tiêu (MCA) trong đánh giá thích nghi đất đai cho loại hình sử dụng đất cây ăn quả tại huyện Thanh Oai, thành phố Hà Nội	34
Vũ Khắc Hùng, Trần Văn Tuấn	
79. SOCA: Giải thuật đồng tiến hóa đơn mục tiêu và ứng dụng trong bài toán phân loại vật liệu ảnh vệ tinh	35
Phạm Văn Trường, Bùi Thu Lâm, Lê Minh Hàng	
80. Xây dựng hệ thống webGIS quản lý hạ tầng bưu chính – viễn thông tỉnh Bình Định	36
Võ Gia Nghĩa, Nguyễn Hữu Hà, Trần Thị Thư, Nguyễn Trung Cường	
81. Ứng dụng GIS trong quản lý dữ liệu khi thái nhằm xây dựng kế hoạch kiểm soát ô nhiễm không khí	37
Hồ Quốc Bằng, Hồ Minh Dũng, Vũ Hoàng Ngọc Khê	
Nguyễn Thảo Tâm và Nguyễn Thị Thúy Hằng	
82. Đánh giá khả năng thích hợp đất đai dồi với cây mắc ca và định hướng sử dụng đất trồng cây xen mắc ca trên đất đồi bazan tại huyện Krông Năng, tỉnh Đăk Lăk	38
Phạm Thị Trịnh	
83. Đánh giá tổng hợp điều kiện tự nhiên phục vụ phát triển cây maccá, cây bơ và cây nhãn huyện Thuận Châu, tỉnh Sơn La	39
Nguyễn Ngọc Thạch, Phạm Văn Mạnh, Phạm Xuân Cảnh, Lê Phương Nhung, Nguyễn Thị Bích	
84. Đánh giá thích nghi đất đai nông nghiệp đa tiêu chí bằng kỹ thuật phân tích thứ bậc	40
Nguyễn Thị Tịnh Âu, Nguyễn Thị Xuân Hạnh, Nguyễn Kim Lợi	
85. Đánh giá xói lở và bồi tụ vùng cửa sông ven biển bằng viễn thám và GIS: trường hợp nghiên cứu vùng cửa sông tỉnh Hà Tĩnh, Việt Nam	41
Nguyễn Quang Tuấn, Đỗ Thị Việt Hương, Nguyễn Quang Việt	
86. Assessment of land use/cover change in the period 2000 – 2015 and forecast to 2030 in Tra Vinh province	42
Tran Hoa Phuong, Hoang Phi Phung, Nguyen Thanh Hung, Tran Anh Phuong, Ho Dinh Dau	
87. Nghiên cứu tác động của thay đổi lớp phủ mặt đất lên nhiệt độ bề mặt – Trường hợp diễn biến của thành phố Thủ Đức Mát tỉnh Bình Dương	43
Tô Thị Bích Nga, Trần Hoàng Đăng Khoa, Nguyễn Cao Hanh, Phạm Việt Hòa, Hồ Đinh Dậu	

XÁC ĐỊNH TRƯỢT LÓ ĐẤT KHU VỰC LÀO CAI BẰNG CHUỖI ẢNH VỆ TINH RADAR SENTINEL -1A

Trần Văn Anh¹, Nguyễn An Bình², Lê Thành Nghĩ¹

¹ Khoa Trắc địa - Bản đồ - Quản lý đất đai, Trường Đại học Mỏ - Địa chất

² Viện Địa lý Tự nhiên Thành phố Hồ Chí Minh

ABSTRACT

Determination of landslide in Lao Cai Province by Sentinel -1 time series Radar images

Radar technology has been known for more than 20 years with several methods of interferometry SAR (InSAR), PSInSAR, Quasi-SAR. Each method has different characteristics and advantages, but for mountainous areas with high coverage of vegetation, humidity and clouds, InSAR method is limited due to atmospheric influences. The PSInSAR method eliminates this disadvantage of InSAR by using a series of images and only requires the permanent scattering points, which are the points in all pairs of images with high coherence. However, one drawback of traditional PSInSAR is that it only determines linear land deformations while non-linear deformations are less accurate. In this paper, we use an improved PSInSAR method called Quasi-FSI, this method does not use one master image and the other one are the slave images like traditional PSInSAR but use multiple master images to connect both images of the dataset to multiple pairs of images that make up the terrain spanning tree chart. The study area is part of Bat Xat district and part of Sa Pa district in Lao Cai province with an area of 26km². The image is used as a series of 18 Sentinel 1A scenes from January 2017 to April 2018. The landslide location is determined from the satellite images that are concentrated mostly near rivers and streams in communes such as Den Sang, Phan Ngan, Quang Kim, Bat Xat and Ta Phin communes, Sa Pa district. The landslide determination results have been compared with the interpretation from the geological and mineral surveys and have proven its ability to identify landslides in the Sentinel-1A image for the mountains area have large landslide phenomenon.

Keywords: Landslide, PSInSAR, Sentinel-1A.

ĐẶT VĂN BẢN

Trượt lở đất đá là loại hình thiên tai xảy ra thường xuyên ở các vùng miền núi Việt Nam, đã và đang gây thiệt hại nghiêm trọng về người, cơ sở vật chất và ảnh hưởng nghiêm trọng đến môi trường. Theo nghiên cứu của Viện Địa chất và Khoáng sản (Bộ Tài nguyên và Môi trường): Trượt lở đất đá là các kích hoạt do nhiều yếu tố ngoại sinh như mưa, bão, lũ lụt, các quá trình phong hóa đất đá... và nội sinh như động đất. Đặc biệt là do con người làm mất độ ổn định sườn dốc, tăng chân rãnh do mìn mỏ, máy móc, tăng trọng tải lên mặt sườn dốc và gây xói mòn, làm yếu độ liên kết của đất đá, khai thác giàn derrick cây do các hoạt động phá rãnh, khai thác khoáng sản, san lấp, cắt, xe đồi sỏi để xây dựng đường sá, nhà cửa và các công trình khác. Điều này dẫn tới tai biến trượt lở đất đá, lũ bùn đá đang gây thảm họa lớn cho con người và xã hội. Trước đây việc xác định hiện trạng trượt lở đất đá thường là phải khảo sát thực địa kết hợp với đo đạc hoặc sử dụng ảnh hàng không và giao diện bảng tính. Một số nghiên cứu sử dụng ảnh hàng không đang tương tự để xác định trượt lở đất trên những khu vực sườn dốc phải kể đến là (Soeters và Westen, 1996), công nghệ này mặc dù đã có thể xác định hiện trạng địa hình trên diện rộng và kết hợp với việc xác định mô hình số độ cao theo phương pháp lượng tử để tìm ra biến động theo độ cao nhưng công nghệ tương tự này không thể tự động được áp dụng cho việc xác định tiến trình trượt lở theo thời gian. Hơn nữa, ảnh vệ tinh quang học được ghi nhận ở vùng châu Á thường bị mây che mà những thời điểm có hiện tượng thay đổi đột ngột về mặt địa hình đất đá không phải lúc nào cũng có thể thu được một ảnh quang học đảm bảo chất lượng.

Chính vì vậy việc xác định biến động địa hình sử dụng ảnh vệ tinh Radar đang là một lựa chọn hiện nay. Ảnh vệ tinh Radar có đặc điểm là không bị ảnh hưởng bởi mây, mưa và được ghi nhận từ ngày lẫn đêm, do đó rất phù hợp cho khu vực Đông Nam Á, trong đó có Việt Nam. Công nghệ sử dụng Radar để xác định các biến động địa hình như trượt lở đất, sự lún đất là công nghệ radar gần thoa InSAR. Trong đó có khá nhiều phương pháp được các nhà khoa học nghiên cứu và sử dụng trong khoảng 20 năm trở lại đây đó là DInSAR (Gabriel and Goldstein, 1989), PSInSAR (Ferretti *et al.*, 2000) hay StaMPS (A. Hopper *et al.*, 2012)... Từ đó đã có nhiều nghiên cứu sử dụng Radar giao thoa để xác định trượt lở sạt lở như Bruckno B. *et al.*, (2013); Ran N. Nof *et al.* (2013); Theros A., *et al.*, (2016); Engelbrecht J., (2016); Kim J.W. *et al.* (2016) đã thành công trong phát hiện sớm và giám sát quá trình biến dạng bề mặt đất trước khi các hố sạt xuất hiện trên bề mặt đất. Các dữ liệu rà-sát vệ tinh được sử dụng bao gồm COSMO-Sky med, TerraSAR-X, Sentinel-1A.

Mỗi phương pháp InSAR đều có những thuận lợi và một số khó khăn trong xác định biến động địa hình. Bởi với DInSAR có ưu điểm là số lượng ảnh cần trong nghiên cứu biến động địa hình không cần nhiều chỉ cần ít nhất hai ảnh trước và sau khi biến động xảy ra nhưng có một nhược điểm đó là ảnh hưởng bởi khí quyển sẽ tạo ra pha nhiễu cộng thêm vào pha biến động làm thay đổi kết quả của xác định biến động địa hình. Phương pháp PSInSAR có thể thay thế DInSAR để xác định biến động địa hình nhưng xác định những trượt lở hay biến động địa hình xảy ra một cách tuyển tính. Do vậy trong bài báo này chúng tôi sử dụng một phương pháp cải tiến từ PSInSAR có tên là Quasi-PSI do Ts. Daniel Perissin phòng nghiên cứu Địa vật lý, ĐH Purdue xây dựng. Phương pháp đã lựa chọn các ảnh để làm ảnh chính kết hợp với các ảnh khác trong chuỗi ảnh để tối ưu giá trị trong quan sát các cặp ảnh.

Khu vực nghiên cứu thuộc tỉnh Lào Cai, cảnh ảnh bao trùm một phần của huyện Bát Xát và Sa Pa nơi có nhiều điểm trượt lở trên dường quốc lộ 4D hay tại các xã như Phìn Ngan, Quang Kim, Tả Phìn, Sa pa. Ảnh được lựa chọn cho nghiên cứu là ảnh vệ tinh Radar Sentinel-1A band C của châu Âu.

2. DỮ LIỆU VÀ PHƯƠNG PHÁP NGHIÊN CỨU

2.1. Khu vực nghiên cứu

Khu vực nghiên cứu của chúng tôi tập trung một phần huyện Bát Xát và huyện Sa Pa tỉnh Lào Cai. Toàn bộ nền địa hình khu vực này được kiến tạo bởi nhiều dải núi cao, nổi bật là hai dải núi chính tạo nên các hợp lưu: Ngò Phát, suối Lũng Pô, Suối Quang Kim. Địa hình cao dần, điểm cao nhất có độ cao 2945m, điểm thấp nhất có độ cao 88m.

Kiến tạo địa hình Bát Xát, Sa Pa hình thành hai khu vực: Vùng núi cao có độ chênh lệch, thay lũng hẹp khe sâu, độ dốc lớn. Vùng thấp (ven sông Hồng, bồn địa nhỏ) là nơi tập trung các dải đồi thấp, thoái địa hình tương đối bằng phẳng. Hàng năm từ tháng 7 đến tháng 9 là khoảng thời gian mưa nhiều và thường xảy ra trượt lở đất và lũ quét cho các khu vực miền núi Việt Nam, trong đó huyện Bát Xát gồm các xã như Phìn Ngan, Quang Kim, hay huyện Sa Pa tại các xã Tả Phìn, Trung Chải, ba Khoang là điểm nóng của trượt lở đất. Theo nghiên cứu của Lê Quốc Hùng thì xã Phìn Ngan, xã Quang Kim, Tả Phìn hay tại quốc lộ 4D đoạn Lào Cai Sa Pa là những nơi thường xuyên bị trượt lở đất. Dưới đây là khu vực bao phủ của vùng nghiên cứu được chồng lên bản đồ địa giới hành chính.

Lấy mục tiêu p0 làm điểm tham chiếu, pha giao thoa của mục tiêu p, sẽ bằng $\Delta\phi_p^{ij}$ phụ thuộc vào vị trí hình học của nó cũng như sự dịch chuyển của đối tượng, nhiễu của khí quyển. Cụ thể là pha giao thoa phụ thuộc vào chiều cao của mục tiêu p là $\Delta h_{p,p0}$ và xu hướng biến dạng tuyến tính là $\Delta v_{p,p0}$.

$$\Delta\phi_{H,p,p0}^{ij} = \frac{4\pi}{\lambda} \frac{1}{R \sin\theta} \Delta h_{p,p0} Bt_{i,j} \quad (1)$$

$$\Delta\phi_{D,p,p0}^{ij} = \frac{4\pi}{\lambda} \Delta v_{p,p0} Bt_{i,j} \quad (2)$$

trong đó Bt_i là đường dây tiêu chuẩn của cặp ảnh giao thoa, $Bt_{i,j}$ đường dây theo thời gian $\tau_{i,j}$ các cặp ảnh, λ là bước sóng, θ là góc nhìn và R khoảng cách giữa mục tiêu và bộ cảm biến. Trong kỹ thuật PS, chiều cao và vận tốc dịch chuyển của đối tượng được ước tính bằng cách tối đa hóa ξ_p (chống tối bô qua chí mục p0 để làm sáng ký hiệu):

$$(\Delta h_p, \Delta v_p) = \arg[\max(|\xi_p|)] \quad (3)$$

$$\xi_p = \frac{\sum_{i=1}^N e^{j(\Delta\phi_p^{ij} - \Delta\tilde{\phi}_{H,p}^{ij} - \Delta\tilde{\phi}_{D,p}^{ij})}}{N} \quad (4)$$

Trong phương trình (4) Các thuật ngữ có thể được giải thích

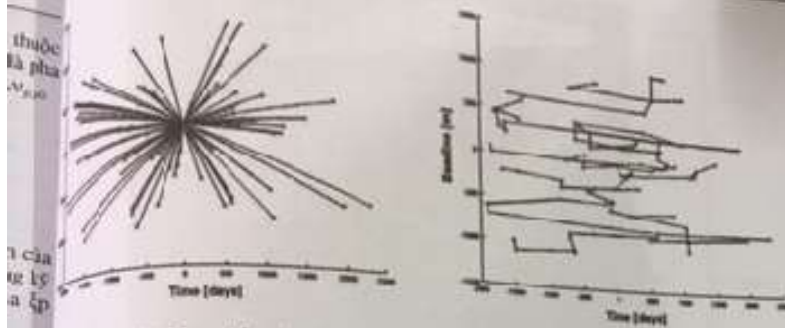
$\Delta\phi_p^{ij}$ là pha giao thoa thu được;

$\Delta\tilde{\phi}_{H,p}^{ij}$ là pha giao thoa phụ thuộc độ cao được đưa ra bởi phương trình 1;

$\Delta\tilde{\phi}_{D,p}^{ij}$ là pha giao thoa phụ thuộc vào xu hướng biến dạng địa hình được cho bởi phương trình 2.

Trong phân tích PS có diện, pha giao thoa trong phương trình (4) được tạo ra bằng cách lấy ảnh chính chung cùn tất cả ảnh còn lại sẽ là ảnh phụ thuộc. Trong đường dây ảnh tiêu chuẩn và đường dây cách thời gian chuẩn, cấu hình này có thể được biểu diễn bằng biểu đồ hình ngôi sao như trong Hình 1, trong đó mỗi điểm biểu thị một vị trí ảnh và mỗi kết nối một giao thoa trong bộ dữ liệu mẫu. Trong khuôn khổ này, kết nối đó thi để đảm bảo tính liên tục thời gian của các phép đo biến dạng và khả năng giải mở pha của chuỗi ảnh da thời gian Bên cạnh đó, nhược điểm chính của sự kết hợp này là mỗi hình ảnh có thể tạo một giao thoa với ảnh chính mà không cần biết sự kết hợp này có ổn định không. Một số cải tiến khác để hạn chế việc chỉ sử dụng một ảnh chính đó là các phương pháp như SBAS (Berardino, 2002) hoặc StanPS (Hooper, A, 2004)). Phương pháp được đề xuất trong nghiên cứu này là tìm kiếm biến đổi tương quan tối thiểu kết nối tất cả các hình ảnh của tập dữ liệu (thường được gọi là Minimum Spanning Tree, MST (Refice A, 2003)), mà không áp đặt bất kỳ giới hạn nào về số lượng ảnh, chúng ta gan cho mỗi kết nối đó thi i,j giá trị tuyệt đối của tương quan không giao thoa có thể cho MST mà nó sẽ tối ưu hóa tương quan trung bình. Tương quan không gian γ_p^{ij} của hai điểm p được lấy như hệ số tương quan chéo chuẩn hóa giữa các ảnh i, j trên một vùng lân cận nhỏ

$$\gamma_p^{ij} = \frac{\sum_{W_{in(p)}} S_i S_j^*}{\sqrt{\sum_{W_{in(p)}} |S_i|^2 \sum_{W_{in(p)}} |S_j|^2}} \quad (5)$$



biểu đồ biểu diễn sự kết nối các cặp ảnh theo phương pháp PSI truyền thống (bên trái) và phương pháp Quasi-PSI (Daniel Perissin, 2009) (bên phải)

không yêu cầu đảm bảo kết nối đê thị, mà nó là cần thiết cho quy trình giải mờ pha, chúng ta chọn tập hợp giao thoa theo thông số chúng ta muốn ước tính (chiều cao hoặc dịch chuyển). Chúng ta cần thông tin chiều cao, chúng ta có thể sử dụng các giao thoa với Bt nhỏ (vì vậy), & tránh các vấn đề do sự suy giảm thời gian; hơn nữa, khi các tần số bị ảnh hưởng bởi định hình học, chúng ta có thể xem xét các giao thoa đó với Bt nhỏ hơn 700ms. Bằng cách này, chúng ta được các giao thoa tối ưu phù hợp cho những mục đích mà chúng ta mong muốn. Theo đó, để xác định chuyên dịch, chúng ta có thể sử dụng ví dụ: Bt <1000 ngày và Bt <150m. Một số điểm PS là tương quan trung tắt cả các giao thoa. Do đó, để ước tính chiều cao và dịch chuyển cũng có các mục tiêu mà tương quan thông nhất trên tất cả các cặp giao thoa ứng với một số điểm chỉ có tương quan một phần, chúng ta phải chọn một tập con của các giao thoa cho từng điểm. Với mục đích này, chúng ta có thể khai thác giá trị tuyệt đối của thời gian γ_p^{ij} của điểm p. Bằng cách chọn nó như là một trọng số trong quá trình mục tiêu giao thoa có tương quan sẽ được xác định kết quả. Phương trình 4 trở thành:

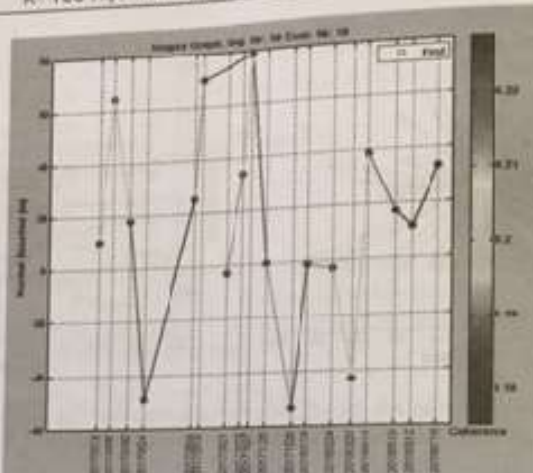
$$\xi_p = \frac{\sum_{(i,j)} |\gamma_p^{ij}| e^{\rho \gamma_p^{ij} - \alpha \delta_{i,p}^{ij} - \alpha \delta_{j,p}^{ij}}}{\sum_{(i,j)} |\gamma_p^{ij}|} \quad (6)$$

Tổng số mẫu số đã được sửa đổi để chuẩn hóa kết quả. Chúng ta định nghĩa là tương quan thời gian γ_p^{ij} , có thể được sử dụng làm chỉ số độ tin cậy của ước tính.

QUẢ VÀ THẢO LUẬN

Khi áp dụng phương pháp Quasi-PSI với 18 cảnh ảnh khu vực Bát Xát, Lào Cai bằng phần mềm chạy trên Matlab 2016a (Daniel Perissin, 2009) chúng tôi đã thu được biểu đồ biểu diễn các cặp ảnh được liên kết theo phương pháp MST (hình 3) và cắt một diện tích trên ảnh là 12 km² của khu vực Bát Xát, Sa Pa và thành phố Lào Cai.

Tóm lại về thời gian biểu diễn khoảng cách về không gian của các đường dây ảnh của các ảnh đối với xác định biên động địa hình thì khoảng cách đường dây ảnh ngắn là tốt. Với biểu đồ biểu diễn các cặp ảnh được biểu diễn như hình 3 đã có 20100 điểm PS và DS được chọn với ngưỡng biên giới (Amplitude stable Index) lựa chọn là 0.75.



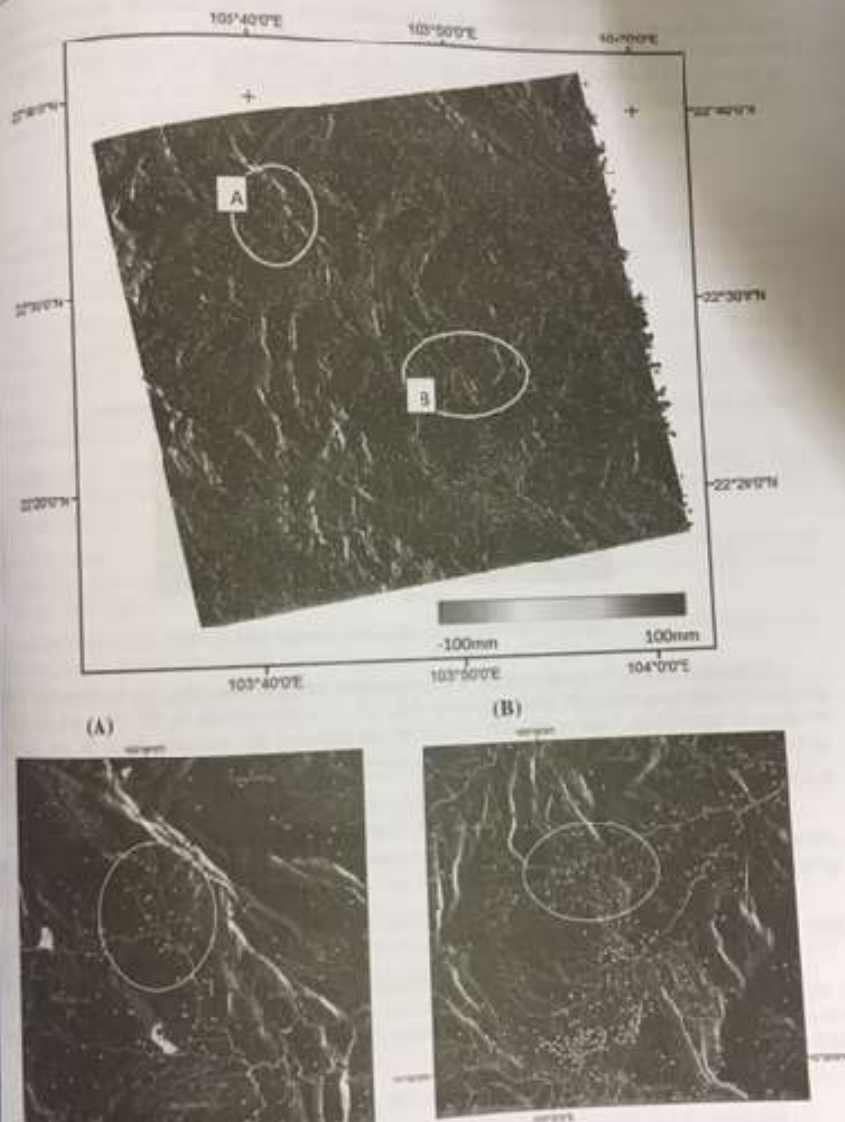
Hình 3: Biểu đồ vị trí và tần suất các cột ảnh Sentinel-1A

Sau khi loại bỏ ảnh hưởng của khí quyển bằng việc tự động download các file quỹ đạo và tần suất của các ngày thu ảnh chúng tôi đã thu được vị trí các điểm trượt lở trung bình trong khoảng thời gian từ năm 1/2017 đến năm 7/2018 (hình 4). Vị trí các điểm trượt lở được chuyển sang dạng shapefile và được hiển thị trong phần mềm ArcGIS 10.2.

Trượt lở được tính trung bình theo năm và được thể hiện một cách chắc chắn ở các vị trí được đánh dấu bằng các hình elip màu vàng trên hình 4. Tại sao chúng tôi lại xác định như vậy vì những chỗ được khoanh là tập hợp các điểm biến thiên từ âm đến dương có nghĩa là các điểm màu từ đỏ đến xanh dương. Mẫu đỏ tương đương với trượt âm và nó sẽ tích tụ tạo thành các điểm dương phía dưới. Khi ta bắt gặp các tập hợp điểm biến thiên từ đỏ, vàng, cam lam rồi đến xanh dương thì những chỗ đó sẽ có các điểm trượt đều dần theo thời gian và dễ nhận ra. Trên hình A là vị trí xuất hiện các điểm trượt lở xã Đèn Sáng- Bát Xát và B là vị trí xuất hiện trượt lở tại xã Phìn- Sa Pa. Ngoài ra có nhiều điểm xuất hiện những điểm trượt nhỏ hơn như Quang Kim, Phìn Ngan thuộc huyện Bát Xát và tại thôn Mồng Sén - Sa Pa.

Qua xác định bằng mắt các vị trí trượt lở thường xuất hiện nhiều ở ven bờ sông, suối năm rìa các địa bàn huyện Bát Xát như suối Nậm Hồ, Tà Loi, Mường Hum, Phìn Hồ. Tại huyện Sapa thì gần các suối như Mồng Sén, Ngòi Dun, suối Hồ cũng xuất hiện nhiều điểm trượt lở.

Để thấy được chi tiết hơn từng điểm trượt lở kết quả được chồng phun lên bản đồ các điểm khảo sát trượt lở được giải giải đoán bằng ảnh hàng không cung cấp bởi viện Địa chất và khoáng sản. Các điểm trượt này được đánh dấu là các hình tam giác màu hồng (hình 4 A và 4B).



Hình 4. Vị trí các điểm truy cập được xác định từ ảnh Sentinel-1A được chuyển vào ArcGIS 10.2

Vị trí trượt lở xuất hiện trên các đường giao thông. Để thấy được chi tiết thì các tuyến giao thông cũng được chồng pha lên bản đồ trượt lở xác định từ ảnh Sentinel-1A. Chúng tôi nhận thấy rằng các trượt lở đơn lẻ cũng thường hay xảy ra trên các đoạn đường như TL 155 hay QL4D. (hình 6) biểu diễn vị trí trượt lở khu vực Sa pa xuất hiện trên khu vực đường QL4D.



Hình 5. Trượt lở xuất hiện trên đường quốc lộ 4D

Trên các hình 4 và 5 so sánh với các biểu tượng hình tam giác màu hồng là các điểm trượt lở được giải đoán từ ảnh hàng không thì chúng tôi nhận thấy các vị trí này có một số chỗ trùng với các trượt lở tìm được do ảnh vệ tinh. Thực ra trên ảnh vệ tinh chỉ cần một thay đổi nhỏ cũng đã có thể xác định được sự thay đổi, vì vậy số lượng các điểm trượt thường nhiều hơn so với các điểm xác định bằng mắt.

4. KẾT LUẬN

Với việc sử dụng tập hợp 18 cảnh ảnh vệ tinh Sentinel-1A và cắt một diện tích là 20x20km, chúng tôi đã tiến hành xử lý những cảnh ảnh này theo phương pháp Quasi-PSI của Perisin bằng phần mềm Saproz chạy trên nền Matlab 2016a. Các kết quả xác định trượt lở cho thấy các vấn đề sau:

- Phương pháp Quasi-PSI đã cho phép xác định được số lượng các điểm tan xà cát định PS và các điểm tan xà phân bố DS nhiều hơn so với phương pháp PSI truyền thống.

- Các vị trí phân bố trượt lở dát trên địa bàn nghiên cứu tập trung nhiều ở các lưu vực sông, suối, ở những nơi địa hình dốc và ít thực phủ. Các vị trí diễn hình có trượt lở tìm thấy là tại các xã như Đồn Sáng, Giàng Ma Sào, Phìn Ngan, Quang Kim thuộc huyện Bát Xát, xã Tà Phìn, Trung Chai, thị trấn Sa Pa thuộc huyện Sapa.

- Một số điểm trượt lở tập trung trên các đường giao thông như QL4D đoạn qua Sa pa.

- Do chưa có các khảo sát trực tiếp các điểm trượt lở ngoài thực địa nên chúng tôi không dám kết luận là phương pháp nghiên cứu hoàn toàn chính xác nhưng những kết quả ban đầu xử lý bằng ảnh

Sentinel-1A cho thấy việc xác định trượt lở từ ảnh vệ tinh Sentinel có khả năng ứng dụng để xác định trượt lở lớn.

Lời cảm ơn: Bài báo được viết dựa trên dữ liệu của đề tài Bộ TN & MT mã số 107.08.07. Chúng tôi chân thành cảm ơn sự giúp đỡ nhiệt tình của Dr. Daniel Perissin và các nhà phát triển phần mềm Saproz đã giúp đỡ và góp ý trong quá trình xử lý dữ liệu Sentinel -1A.

TÀI LIỆU THAM KHẢO

- Brian, Vaccari Andrea, Hoppe Edward, Nicaman William, Campbell Elizabeth, 2013. *Utilization of Interferometric Synthetic Aperture Radar as a Tool for Identification of Geohazards and Low-Risk Transportation Infrastructure*. Paper in the Earth and Atmospheric Sciences. 402 University of Nebraska-Lincoln.
- Nof, Gidon Baer, Alon Ziv, Eli Raz, Simone Atzori, Stefano Salvi, 2013. *Sinkhole precursors along the Dead Sea, Israel, revealed by SAR interferometry*. Geological Society of America DOI: 10.1130/G34505.1 Published on July 2013, First Published on July 03, 2013
- Engelbrecht, J. and Kemp, J. 2016. *Potential of sinkhole precursor detection through interferometric SAR*. Conference Paper, Aug 2016.
- Engelbrecht J. 2016. *Differential radar interferometry for deformation monitoring*. Link <http://www.ce.co.za/article/differential-radar-interferometry-deformation-monitoring.html> Public by 0th, 2016, Accessed Oct 10th, 2017
- Prati, C. and Rocca, F. (2000). Nonlinear subsidence rate estimation using permanent scatterers in differential SAR interferometry. *IEEE Transactions on Geoscience and Remote Sensing*, 38(5), pp. 2202-2212.
- Goldstein, 1989. *Mapping small elevation changes over large areas: Differential radar interferometry*. Journal of Geophysical Research, vol. 94(B), no. 7, pp. 9183-9191.
- In-In-Woo, ZhongLuandKimberlyDegrandpre, 2016. *On going Deformation of Sinkholes in West Texas, Observed by Time-Series Sentinel-1A SAR Interferometry (Preliminary Results)*. Remote Sens. 2016, 8, 313; doi:10.3390/rs8040313
- van Westen, C.J., 1996. *Slope instability recognition, analysis and zonation*. In: Turner, J.M., Schuster, R.L. (Eds.), Landslide Investigation and Mitigation. National Research Council, Transportation Research Board Special Report vol. 247, pp. 129-177.
- Tomàs, R., Monells, D., Centolanza, G., Mallorquí, J.J., Vicente, F., Navarro, V.D., Llorente-Sánchez, J.M., Sanabria, M., Cano, M., Mulas, J., 2010. *Analysis of subsidence using TerraSAR-X data: Murcia case study*. Eng. Geol. 116, 284-295.
- Massonet D., M. Rossi, C. Carmona, F. Adragna, G. Peltzer, K. Feigl and T. Rabaut, 1993. *The displacement field of the Landers earthquake mapped by radar interferometry*. Nature, 364, pp. 138-142.
- McKean, J., Buscaglia, S., Gaydos, L., 1991. *Remote sensing and landslide hazard assessment*. Photogrammetric Engineering and Remote Sensing 57 (9), 1185-1193
- Hervàs, Jose I.B., Paul L.R., 2003. *Monitoring Landslide from optical remotely sensed imagery: the case history of Tessina landslide, Italy*. Geomorphology 54, 63-75
- Perissin, (2009), Saproz Manual, <https://www.saproz.com/software-manual/>



DON VI TAI TRU:

SERVIR MEKONG

Viet An
dathop®
Trợ niềm tin

VidaGIS

HCMGIS

88 - 030 3.201 - 2010
88 - 2010



Sách không bán

